

Análisis Numérico III  
Problemas de valores de frontera  
para EDPs elípticas  
Módulo 4, Presentación 9

Raimund Bürger

16 de mayo de 2022

## 4.5. Convergencia del método de diferencias

Sea  $u = u(x, y)$  la solución del problema

$$\begin{aligned} -\Delta u &= -u_{xx} - u_{yy} = f(x, y), \quad (x, y) \in G := (0, 1)^2, \\ u(x, y) &= 0, \quad (x, y) \in \partial G. \end{aligned} \tag{4.9}$$

Sobre  $\bar{G} = G \cup \partial G$  se define una **malla con  $\Delta x = \Delta y = h$** , donde  $G_h = \{\text{totalidad de los puntos interiores}\}, \partial G_h = \{\text{puntos de frontera}\}$ .

Sea  $u = u(x, y)$  la solución del problema (4.9), y

$$\mathbf{u}(h) = (u(h, h), u(2h, h), u(h, 2h), \dots, u((N_h - 1)h, (N_h - 1)h))^T,$$

y el **vector de errores**  $\varepsilon^h := \mathbf{u}^h - \mathbf{u}(h)$ . Usamos

$$\begin{aligned} &(-\Delta_2 u)(x_i, y_k) - f(x_i, y_k) \\ &= \frac{1}{h^2} (4u(x_i, y_k) - u(x_{i-1}, y_k) - u(x_{i+1}, y_k) \\ &\quad - u(x_i, y_{k-1}) - u(x_i, y_{k+1})) \\ &\quad - f(x_i, y_k) - \varepsilon_{ik}(h) - \eta_{ik}(h) = 0 \end{aligned} \tag{4.12}$$

y  $\varepsilon_{ik}(h) + \eta_{ik}(h) = \mathcal{O}(h^2)$  para  $i, k = 1, \dots, N_h - 1$ .

## 4.5. Convergencia del método de diferencias

tenemos (análogamente a  $\mathbf{A}(h)\mathbf{u}^h = \mathbf{b}(h)$ )

$$\mathbf{A}(h)\mathbf{u}(h) = \mathbf{b}(h) + h^2\mathcal{O}(h^2), \quad (4.15)$$

lo que representa el sistema (4.12) multiplicado por  $h^2$ . Restando (4.15) de  $\mathbf{A}(h)\mathbf{u}^h = \mathbf{b}(h)$  obtenemos

$$\mathbf{A}(h)\boldsymbol{\varepsilon}^h = h^2\mathcal{O}(h^2) \Rightarrow \boldsymbol{\varepsilon}^h = h^2\mathbf{A}(h)^{-1}\mathcal{O}(h^2). \quad (4.16)$$

Aquí,  $\mathcal{O}(h^2)$  es un vector de  $(N_h - 1)^2$  componentes, cada una acotada por  $Ch^2$ . Supongamos que

$$\|\mathbf{A}(h)^{-1}\|_{\infty} \leq K h^{-2} \quad (4.17)$$

con  $K$  independiente de  $h$ . En este caso, (4.16) implicaría

$$\|\boldsymbol{\varepsilon}^h\|_{\infty} \leq Ch^2 K = Mh^2$$

con  $M$  independiente de  $h$ . Para  $h \rightarrow 0$ , tendríamos

$$|u_{ik}^h - u(x_i, y_k)| = |u_{ik}^h - u(ih, kh)| \leq Mh^2, \quad i, k = 1, \dots, N_h - 1,$$

donde la constante  $M$  es independiente de  $h$ , y el método sería de segundo orden. La propiedad (4.17) efectivamente se cumple.

## 4.5. Convergencia del método de diferencias

**Teorema 4.4** Supongamos que el problema de valores de frontera (4.9) posee una solución  $u \in C^4(\bar{G})$ . Entonces el método de diferencias finitas dado por

$$\begin{aligned} -(L_h u^h)_{ik} &= \frac{1}{h^2} (4u_{ik}^h - u_{i-1,k}^h - u_{i+1,k}^h - u_{i,k-1}^h - u_{i,k+1}^h) \\ &= f(x_i, y_k), \\ i, k &= 1, \dots, N_h - 1. \end{aligned} \tag{4.13}$$

es **convergente del orden 2**, es decir para  $h \rightarrow 0$  tenemos

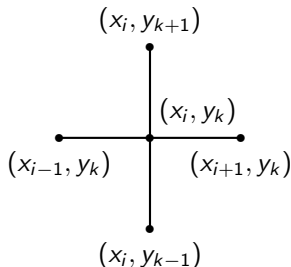
$$u_{ik}^h - u(x_i, y_k) = \mathcal{O}(h^2), \quad i, k = 1, \dots, N_h - 1.$$

## 4.6. Dominios con frontera curvada

Ahora consideramos el caso donde  $G$  es un dominio abierto, acotado y convexo, con una **frontera continua  $\partial G$** . Sobre  $G$  podemos definir una **malla rectangular con  $\Delta x$  y  $\Delta y$**  como largo de los lados de cada rectángulo. Por simplicidad, usaremos una **malla cuadrática  $G_h$**  con  $\Delta x = \Delta y = h$ .

Los puntos del borde de la malla,  $\partial G_h$ , no van en general pertenecer a  $\partial G$ . Entonces tenemos que construir el conjunto de los puntos  $\partial G_h$ , que forman el **borde numérico**.

Estrella o molécula:



## 4.6. Dominios con frontera curvada

El conjunto de todos los puntos de la malla que son **puntos centrales de estrellas** que enteramente pertenecen a  $\bar{G}$  son la **malla  $G_h$** .

El conjunto  $\partial G_h$  de los puntos de borde está formado por todos los puntos de la malla que pertenecen a estrellas completamente contenidas en  $\bar{G}$ , pero que **no son puntos centrales de tales estrellas**.

Espacio ad-hoc:

## 4.6. Dominios con frontera curvada

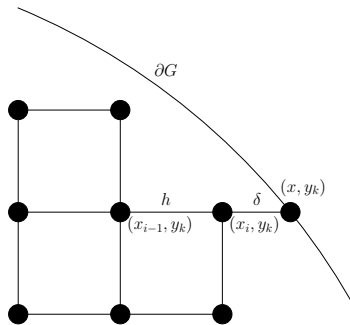
Ahora podemos resolver numéricamente el problema (4.9) con el mismo método numérico usado anteriormente, donde exigimos que

$$u_{rs}^h = 0 \quad \text{para } (x_r, y_s) \in \partial G_h.$$

Estos valores de frontera causan un **error si**  $(x_r, y_s) \notin \partial G$ . Podemos ver fácilmente que estos errores son **proporcionales a  $h$** , es decir, los valores exactos de borde en los puntos de  $\partial G_h$  son del orden de magnitud  $\mathcal{O}(h)$ .

## 4.6. Dominios con frontera curvada

Podemos construir valores de frontera de mayor precisión por **interpolación lineal**:



Puntos co-lineales  $(x_{i-1}, y_k) \in G_h$ ,  $(x_i, y_k) \in \partial G_h$  y  $(x, y_k) \in \partial G$  para  $x > x_i$ . Con  $x - x_i =: \delta < h$  y usando  $u(x, y_k) = 0$  obtenemos

$$u(x_i, y_k) - \frac{\delta}{h + \delta} u(x_{i-1}, y_k) = \frac{h}{h + \delta} u(x, y_k) + \mathcal{O}(h^2) = \mathcal{O}(h^2). \quad (4.18)$$

## 4.6. Dominios con frontera curvada

Despreciando el término  $\mathcal{O}(h^2)$ , obtenemos la **ecuación aproximada**

$$u_{ik}^h - \frac{\delta}{h + \delta} u_{i-1,k}^h = 0, \quad (x_i, y_k) \in \partial G_h.$$

El borde  $\partial G$  no necesariamente debe ser localizado como en la figura. La interpolación siempre entrega una de las **ecuaciones aproximadas**

$$u_{ik}^h - \frac{\delta_{ik}}{h + \delta_{ik}} u_{i\pm 1,k}^h = 0, \quad u_{ik}^h - \frac{\delta_{ik}}{h + \delta_{ik}} u_{i,k\pm 1}^h = 0, \quad (4.19)$$
$$(x_i, y_k), (x_{i\pm 1}, y_k), (x_i, y_{k\pm 1}) \in G_h,$$

donde  $\delta_{ik} \in (0, h)$  es la distancia del punto  $(x_i, y_k) \in \partial G_h$  de aquel punto de  $\partial G$  que está situado sobre la recta que pasa por  $(x_i, y_k)$  y  $(x_{i\pm 1}, y_k)$  o  $(x_i, y_k)$  y  $(x_i, y_{k\pm 1})$ , respectivamente.

En (4.19), ambas cantidades  $u_{ik}^h$  y  $u_{i\pm 1,k}^h$ ,  $u_{i,k\pm 1}^h$  son **incógnitas**, es decir, para cada punto de  $\partial G_h$  obtenemos una **ecuación adicional**.

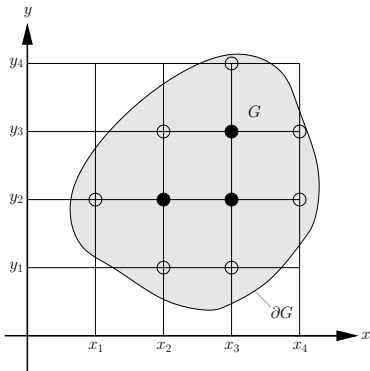
## 4.6. Dominios con frontera curvada

Si  $G_h$  y  $\partial G_h$  contienen exactamente  $M_h$  y  $\tilde{M}_h$  puntos respectivamente, tenemos que resolver ahora un sistema de  $M_h + \tilde{M}_h$  ecuaciones.

El esfuerzo adicional nos asegura valores numéricos de frontera de mayor precisión; debido a (4.18) su error es proporcional a  $h^2$ . Si agregamos (4.19), la matriz del sistema de ecuaciones lineales que resulta en general **ya no es simétrica**, pero se puede demostrar que todavía es una **M-matriz**.

## 4.6. Dominios con frontera curvada

**Ejemplo 4.3** Consideremos el dominio  $G$ :



Para cada punto  $(x_i, y_k) \in G_h$  ( $\bullet$ ) usamos la ecuación (4.13) (después de la multiplicación con  $h^2$ ), y para cada punto  $(x_i, y_k) \in \partial G_h$  ( $\circ$ ), usamos una versión de (4.19).

## 4.6. Dominios con frontera curvada

Ejemplo 4.1 (continuación) La discretización entrega aquí

$$\mathbf{A}(h) = \begin{bmatrix} 1 & 0 & 0 & \frac{-\delta_{21}}{h+\delta_{21}} & 0 & 0 & 0 & 0 & 0 & 0 \\ 0 & 1 & 0 & \frac{-\delta_{12}}{h+\delta_{12}} & 0 & 0 & 0 & 0 & 0 & 0 \\ 0 & 0 & 1 & 0 & \frac{-\delta_{31}}{h+\delta_{31}} & 0 & 0 & 0 & 0 & 0 \\ -1 & -1 & 0 & 4 & -1 & -1 & 0 & 0 & 0 & 0 \\ 0 & 0 & -1 & -1 & 4 & 0 & -1 & -1 & 0 & 0 \\ 0 & 0 & 0 & \frac{-\delta_{23}}{h+\delta_{23}} & 0 & 1 & 0 & 0 & 0 & 0 \\ 0 & 0 & 0 & 0 & \frac{-\delta_{42}}{h+\delta_{42}} & 0 & 1 & 0 & 0 & 0 \\ 0 & 0 & 0 & 0 & -1 & -1 & 0 & 4 & -1 & -1 \\ 0 & 0 & 0 & 0 & 0 & 0 & 0 & \frac{-\delta_{43}}{h+\delta_{43}} & 1 & 0 \\ 0 & 0 & 0 & 0 & 0 & 0 & 0 & \frac{-\delta_{34}}{h+\delta_{34}} & 0 & 1 \end{bmatrix}, \quad \mathbf{u}^h = \begin{pmatrix} u_{21}^h \\ u_{12}^h \\ u_{31}^h \\ u_{22}^h \\ u_{32}^h \\ u_{23}^h \\ u_{42}^h \\ u_{33}^h \\ u_{43}^h \\ u_{34}^h \end{pmatrix}.$$

Como  $0 \leq \delta_{ik} < h$ , la matriz  $\mathbf{A}(h)$  es una L-matriz debilmente diagonal dominante con dominancia diagonal fuerte, por ejemplo, en la fila 1. La matriz es irreducible y por lo tanto, una M-matriz.